

北海道大学 工学部 (正) 牧 明彦 (千代田デムス・アンド・ムーア)

(正) 田中 信寿

(正) 神山 桂一

1はじめに 廉介などの腐敗物を含む都市ごみが埋立地に堆積され、好気的分解を受ける場合、ごみ層が要求する酸素量より、はるかに少ない空気量しか供給されないのが一般的な状況であり、埋立処分地における基本形態であると思われる。このような時、ごみ層の好気性分解がどのように進行するかについて実験的に検討した。

2実験 **2.1 実験内容** 実験は図1に示した装置及び条件により行なった。測定は温度とガス組成(N_2 , O_2 , CO_2)などについて行ない、温度は図示した、ごみ層中心の8点、ごみ層の上・下空間、カラム表面7点と室温について測定した。ガスの採取はごみ層の中心及びカラム壁近傍から、特に下流側2か所でさらにもう1か所追加して行ない、TCDにより分析した。併せて室内空気とカラムからの排ガスについても同様の分析を行なった。

2.2 実験結果 ごみ層(中心)温度の経時変化を図2に示す。実験開始当初の部分を拡大して別に示した。ごみ層の半径方向の温度差を中心とカラム外表面との差でみると、最大の中心温度(約63°C)時に最大の温度差(約8°C)を示した。ごみ層内 O_2 濃度の経時変化を図3に示す。呼吸商は全体に経時的、場所的変動は小さく、大略0.9であった。ガス組成の半径方向分布はごみの腐敗成分の不均質性を反映して、ある程度の分布がみられた。図3はこれを考慮して平均的な組成を求め、示した。特に、 $L = 5\text{ cm}$ では大きな分布を示し、 O_2 濃度について最大5%の相違があった。これは、ごみ層の支持板(25mm正方格子状に9mm中の吹込孔)からの空気吹込み流れが安定した流れになるまで一定の距離が必要であることを示している。

3考察 **3.1 分解の特徴** 従来の報告と同様に好気性分解のパターンに2相あることが見られ、各々、中温菌、高温菌の活動による分解相である。前者については図2から分るよう、いずれの位置についても41~43°Cで分解速度が低下していることからも理解できる。本実験の目的に沿わせるためごみ層の深さに対して通気量を少なくしたために部分的(下層)に分解反応が生じ、その分解反応部分が時間の経過と共に下流側(上方)に移行していくことが認められ、これは中温菌及び高温菌によるいずれの分解でも見られた。

このことはごみ層を10cmごとに区切り、その間の O_2 消費速度を計算することによっても確認することができる(図4)。又、実験期間30日の全 O_2 消費量を10cmごとに求める(図5)と、空気流入側の10cm間が大きく、10~20, 20~30cm間で小さくなつた。これは空気の吹込み流れが安定するまでの助走区間に於いて逆混

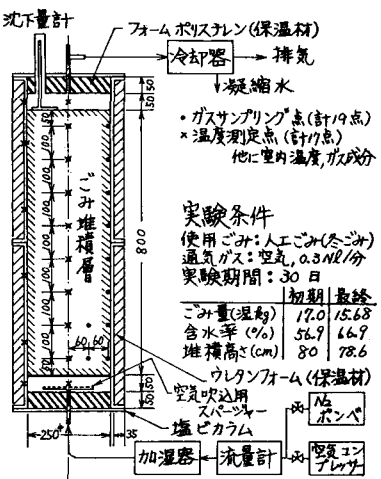


図1 実験装置と条件

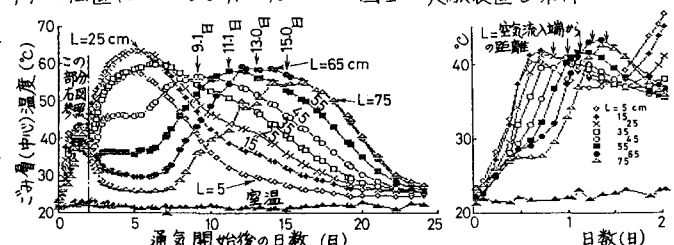
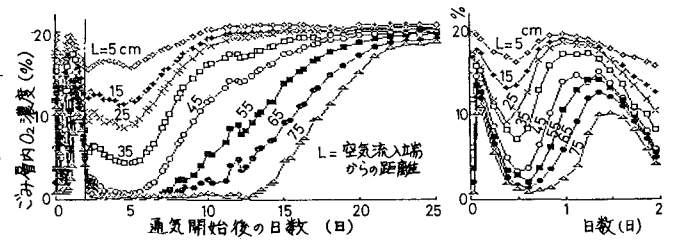


図2 ごみ層(中心)温度の経時変化

図3 ごみ層内 O_2 濃度の経時変化

合が大きいことの影響であると思われる。又、下流側に向けて全O₂消費量が小さくなっているのはカラム上部からの放熱の影響で、温度上昇がおさえられるからである。

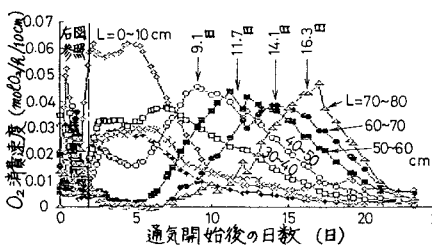


図4 O₂消費速度の経時変化

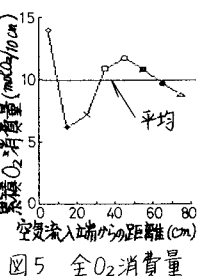
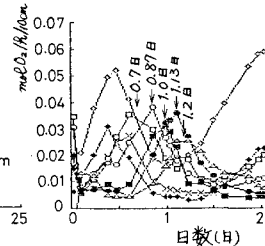


図5 全O₂消費量

表1 分解部分の移動速度(cm/日)			
分類	速度	温度比(2)	O ₂ 消費速度
中温菌分解	80	70	53
高温菌分解	5	4	4.4

表中の計算によるとO₂供給速度(本実験では4 mol O₂/日)とごみ層の単位長さ当たりのO₂消費量(mol O₂/cm)の比で求めることである。

3.2 分解部分の厚さと移動速度 流れ方向でみたO₂濃度の分布(図6)から見ると、本実験では分解部分の厚さ(高温菌分解)は約60cmであった。さらに図2, 4から分解部分の移動速度を求めると、表1のようになる。表中の計算によるとO₂供給速度(本実験では4 mol O₂/日)とごみ層の単位長さ当たりのO₂消費量(mol O₂/cm)の比で求めることである。

3.3 ごみ層内のガス側の混合状態 分解実験終了時に通気ガスを空気からN₂にステップ状に切替える、トレーサー応答を調べた(図7)。L=35, 55, 75 cmでのN₂濃度の経時変化は、時間軸方向に移動させることによってお互いに重ね合せられる形になっている。従ってこの部分のガス側流れは、ほぼ押出し流れとみてよい。この時間のずれからガス側のホールドアップ(空隙率)を求めると64%であった。実験の最終条件から乾ごみと水と空気の容積比を求めるとき9%, 27%, 64%となり、トレーサー応答の結果と一致する。なお、ごみの真密度として1.54 kg/l(実測)を用いた。

3.4 ごみ層の見掛け熱伝導度k_e 次式によりk_eを求めた。k_e=2, 3, ..., 7について

$$k_e = \Delta L \left(C \frac{dT_R}{dt} - H_o D_{O_2} R + S_w K_w (T_w - T_R) - G (I(\frac{T_R+T_{R+1}}{2}) - I(\frac{T_R+T_{R+1}}{2} - I)) \right) / S (T_{R+1} + T_{R+1} - 2T_R)$$

ここで添字RはL=10(k-1)+5cmでの実測値を意味する。実測値:T; ごみ層中心温度, T_w; カラム外壁表面温度, T_R; 室温, ΔO₂; L=10(k-1)~10k の間の酸素消費速度(mol/l/h/cm), パラメータ値: ΔL=10cm, S; カラム断面積(=π/4(0.25)m²), C; ごみの熱容量(=1.518 kcal/C/10cm), H_o; O₂消費当りの分解反応生成熱(=106 kcal/mol O₂), S_w; 保溫材表面積(=2π(0.1510)×0.1m²), K_w; 側面を通しての放熱に関する総括伝熱係数(=k_w+1/2=0.975 kcal/m²h°C), ここでk_w; 保溫材の厚み(=0.035m), k_w; 保溫材の熱伝導度(=0.04 kcal/mh°C)メ; 保溫材表面の自然対流伝熱係数(=10 kcal/m²h°C), G; ガス流量(=0.0223 kg/s), (I(1)-I(1)); 出入するガスのエンタルピー差(相対温度100%)kcal/kg)得られたk_e値は大略, 0.4 kcal/m²h°Cであった。参考に示すと、紙・木・空気・水の熱伝導度は0.12, 0.024(40°C), 0.53(40°C) kcal/m²h°Cである。前述の容積比を用いて加重平均を求めると0.17 kcal/m²h°Cとなる。

3.5 本実験装置の熱収支 図8(左)に装置からの放熱を、側面、上面、下面及びガスによる持出しに分けて計算して示した。最も上にある線が全放熱速度である。図8(右)に蓄熱速度と放熱速度の和として熱発生速度を示し、併せて、ごみ層全体でのO₂消費速度を示した。これら2つの曲線は相似形であり、一般に知られていらる発熱量とO₂消費量の比例関係を裏づけている。

引用文献

- 1) 田中, 神山, 井上; 33回土木学会講演集 II-69
- 2) 神山, 井上; 34回土木学会講演集 II-23
- 3) 神山, 田中, 井上; 35回工芸学会講演集 II-410
- 4) 神山, 田中, 井上; 36回土木学会講演集 II-17
- 5) 田中, 神山; 36回工芸学会講演集 II-18
- 6) 田中, 神山, 井上; 43回全国清掃研究発表会 8-19 (1982)
- 7) 井上; 酸化物工学, 56,(5) p553



図6 ごみ層内O₂濃度の場所的変化

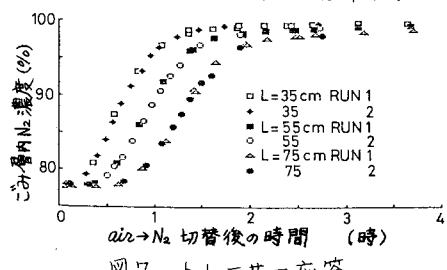


図7 トレーサー応答



図8 実験装置の熱収支